

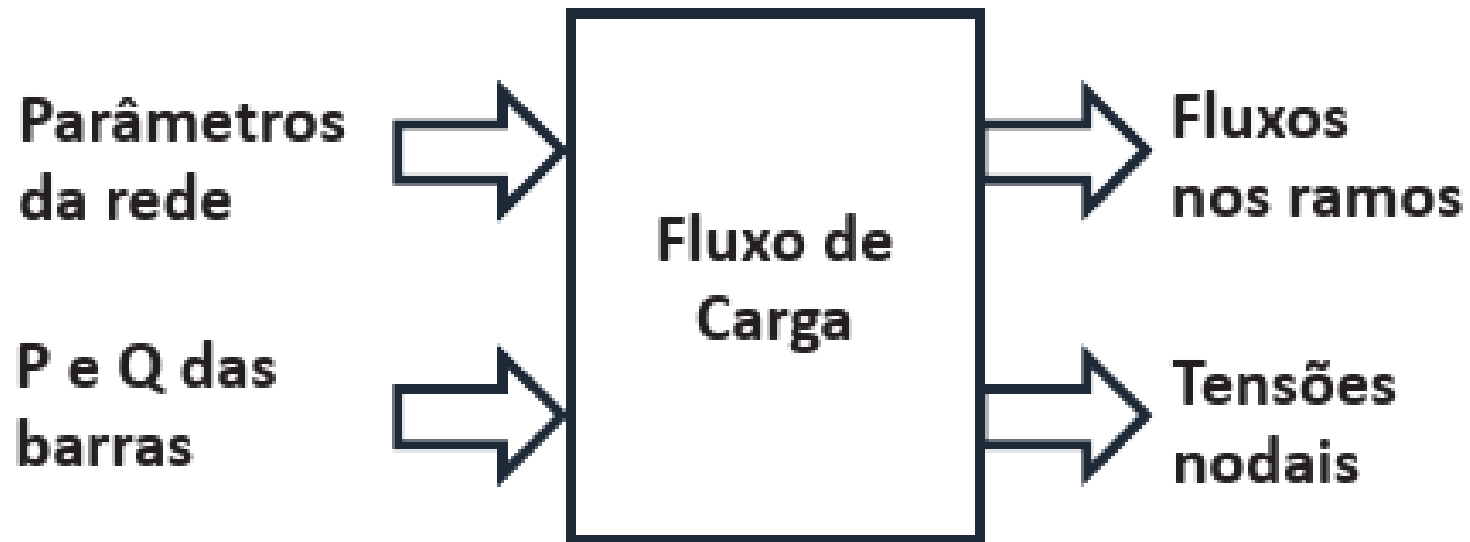
Formulação e resolução do problema de fluxo de carga

Sistemas Elétricos de Potência II

Referências

- SCHINCARIOL, RS; BELIN, PR. Sistemas Elétricos de Potência II. 2019. ISBN 978-85-522-1467-0
- MONTICELLI, AJ. Fluxo de carga em redes de energia elétrica. 1983. ISBN 9221151484.
- GRIGSBY, LL. Electric Power Engineering Handbook. 2006. ISBN 978-0-8493-9288-7.
- (e outras)

Fluxo de carga



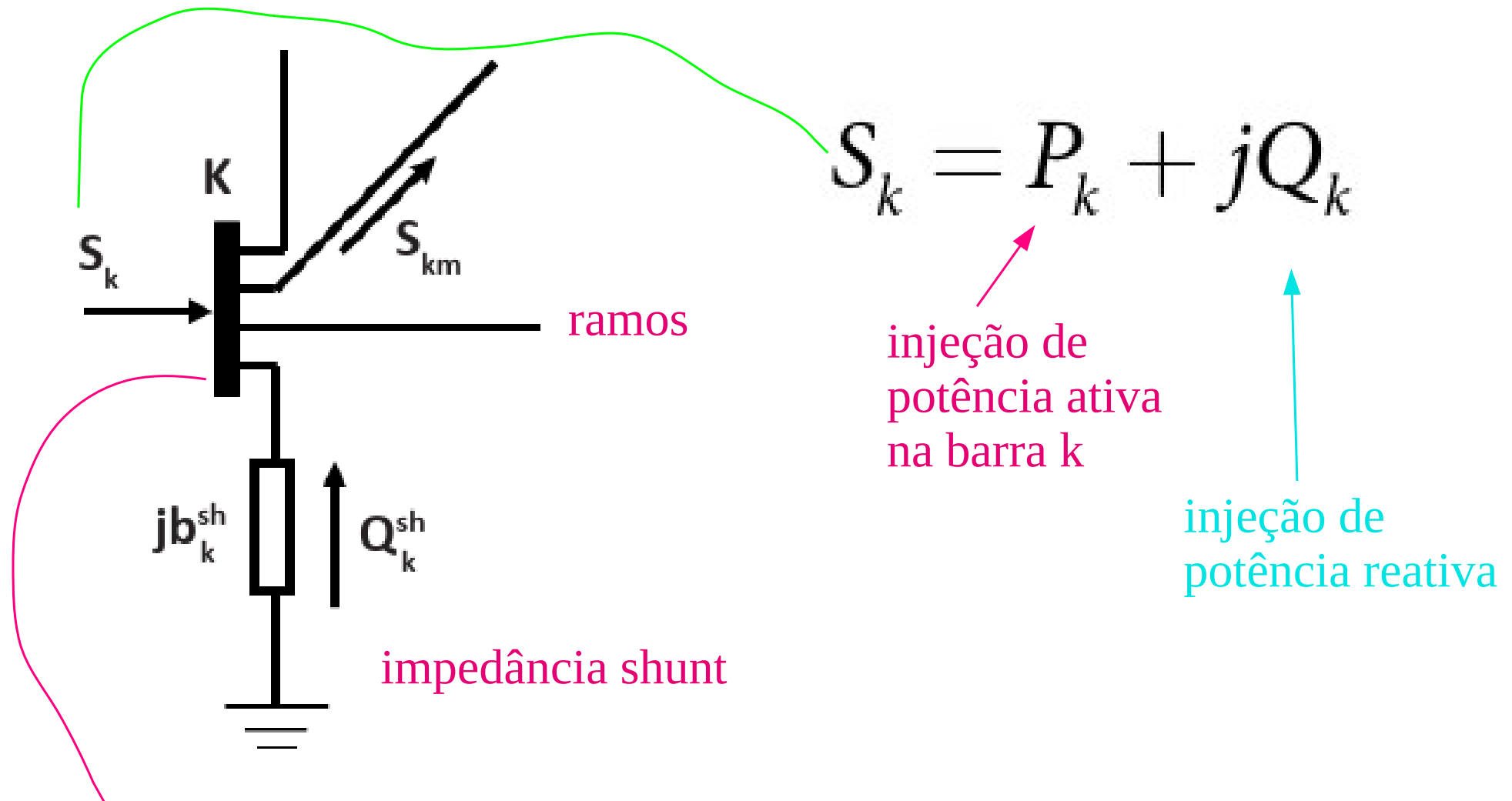
Fluxo de carga

- Se em uma análise for verificado que a demanda de potência em uma determinada barra excede a capacidade térmica de uma das linhas, então o despacho de geração pode ser redirecionado para aliviar o fluxo de potência nesta linha, acionando geradores em outros pontos do sistema
- Os sistemas são bastante equilibrados de forma que a análise pode ser resumida à análise de apenas uma das fases, e estendidos para as demais fases

Fluxo de carga

- Uma vez que conhecemos como os componentes do sistema elétrico de potência são modelados, poderemos proceder com a formulação básica para obter as variáveis de interesse em uma análise de fluxo de carga
- Essa formulação terá como objetivo viabilizar o desenvolvimento de um algoritmo padrão que recebe os parâmetros da rede em estudo (parâmetros das linhas e informação das barras) e como resultado nos devolve o estado de operação da rede (tensões e ângulos nodais) e os fluxos de potência ativa e reativa nos ramos do sistema

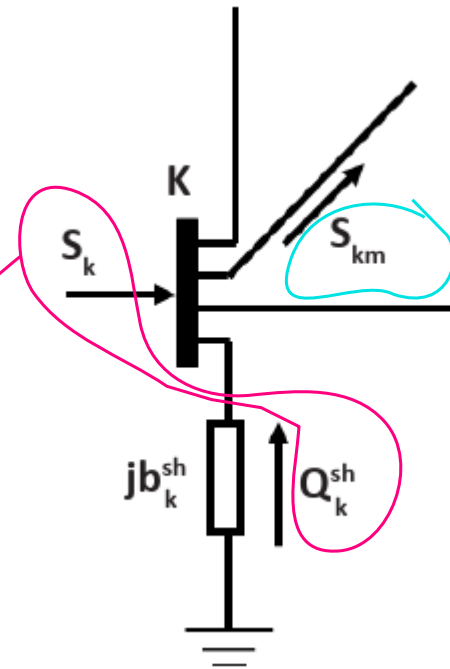
Modelo de uma barra



- Barra genérica k , a qual se conectam N ramos e uma impedância *shunt*

Balanco de potência na barra k

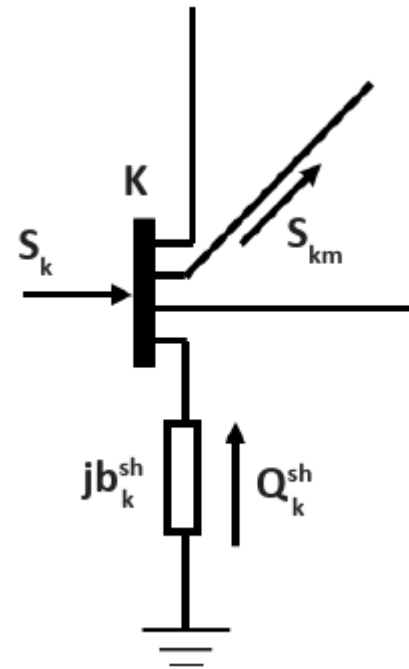
- A soma das potências em cada um dos ramos conectados a esta barra resulta na somatória de injeções de potência nesta barra



$$S_k + jQ_k^{sh} = \sum_{m=1}^N S_{km}$$

Outra forma de representar

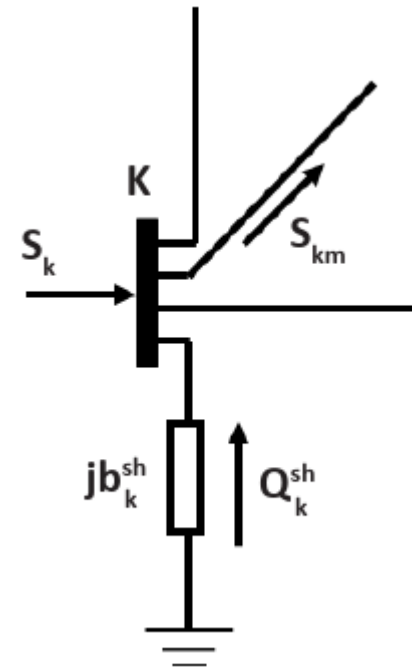
- Convencionar que os fluxos de potência que chegam à barra possuem sinais opostos aos fluxos de potência que deixam a barra
- Aplicar o balanço de potência em que a somatória dos fluxos na barra é igual à zero
- Lei de Kirchhoff: a soma de todas as correntes que chegam a um nó do circuito deve ser igual à soma de todas as correntes que deixam esse mesmo nó



Somatória dos fluxos

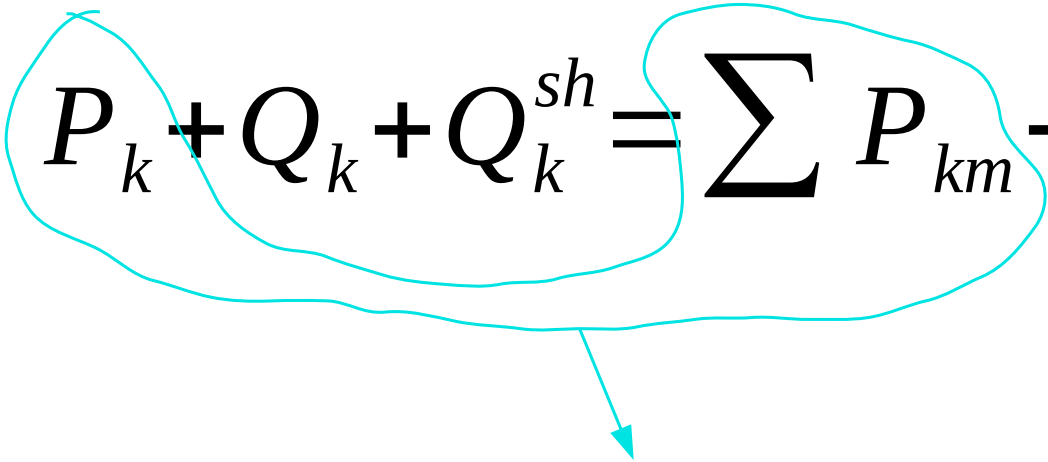
$$S_k + jQ_k^{sh} = \sum_{m=1}^N S_{km}$$

$$S_k = P_k + jQ_k$$




$$P_k + Q_k + Q_k^{sh} = \sum P_{km} + \sum Q_{km}$$

Potência ativa P_k

$$P_k + Q_k + Q_k^{sh} = \sum P_{km} + \sum Q_{km}$$


$$P_k = \sum_{m=1}^N P_{km}$$

Potência reativa Q_k

$$P_k + Q_k + Q_k^{sh} = \sum P_{km} + \sum Q_{km}$$


$$Q_k = \sum_{m=1}^N Q_{km} - Q_k^{sh}$$

Balanco de pot. ativa e reativa

$$P_k = \sum_{m=1}^N P_{km}$$

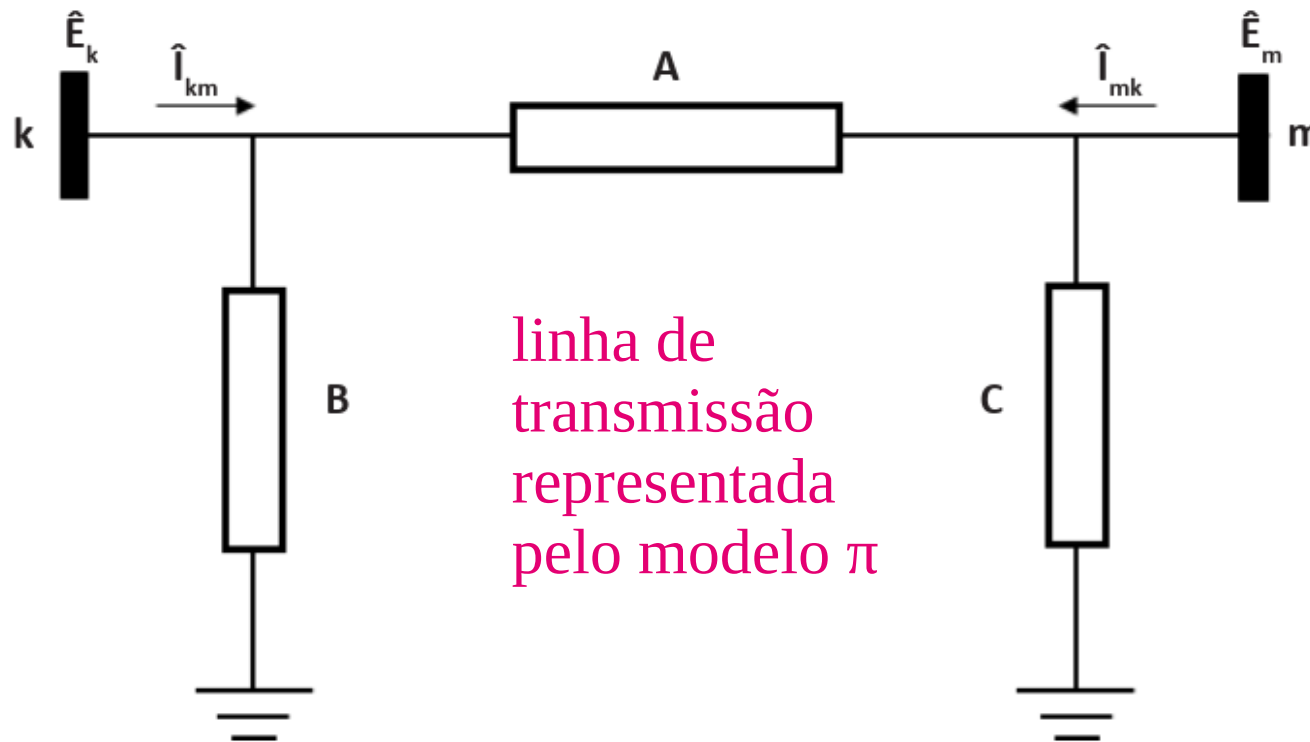
$$Q_k = \sum_{m=1}^N Q_{km} - Q_k^{sh}$$

São as
mesmas
equações dos
slides
anteriores

- As equações genéricas para os fluxos de potência ativa e reativa (vistas na aula anterior) podem ser substituídas nas equações acima, considerando o somatório para cada uma das barras
- No entanto, uma formulação mais genérica é conseguida se montarmos a matriz de admitâncias nodal do sistema

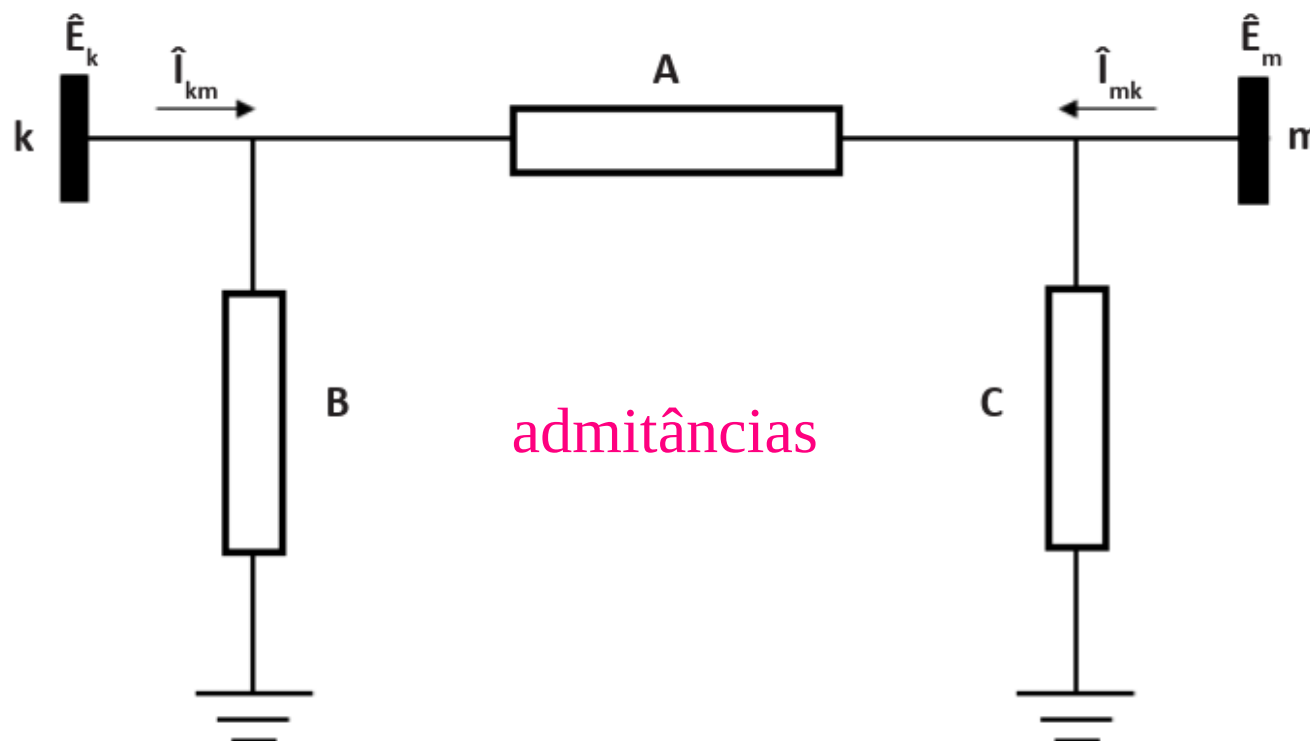
Matriz de admitâncias

Matriz de admitância nodal



- k e m são as barras do sistema
- Uma formulação mais genérica é conseguida se montarmos a matriz de admitâncias nodal do sistema

Exemplo de um quadripolo no modelo π



$$\begin{bmatrix} \hat{I}_{km} \\ \hat{I}_{mk} \end{bmatrix} = \begin{bmatrix} A + B & -A \\ -A & A + C \end{bmatrix} \begin{bmatrix} \hat{E}_k \\ \hat{E}_m \end{bmatrix}$$

representação na forma de matriz

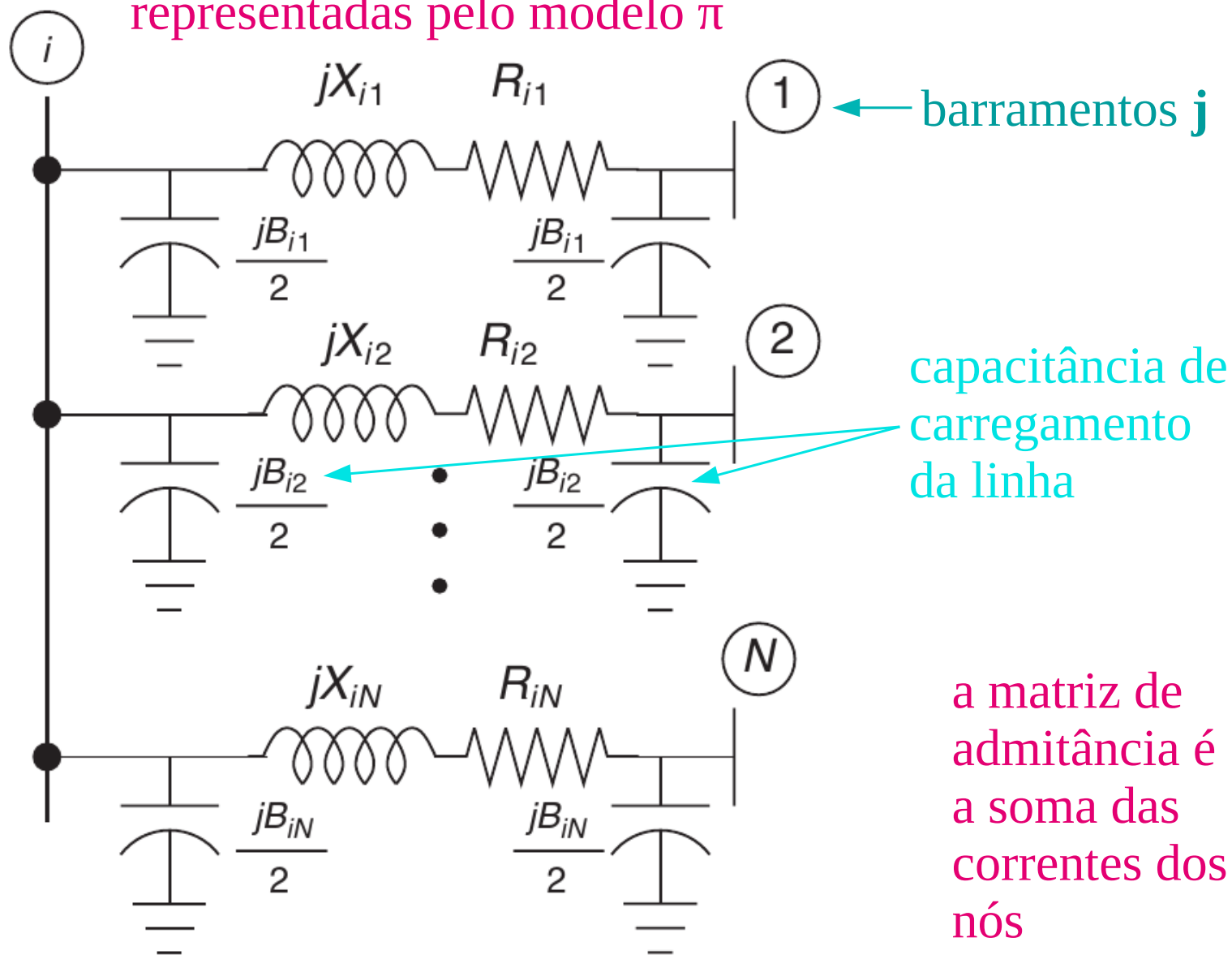
Matriz de admitância nodal

$i \equiv k, j \equiv m, N \equiv n$
(não confundir o índice **j** da matriz com o símbolo **j** de parte imaginária)

barramento **i**
em uma rede
de transmissão
de energia

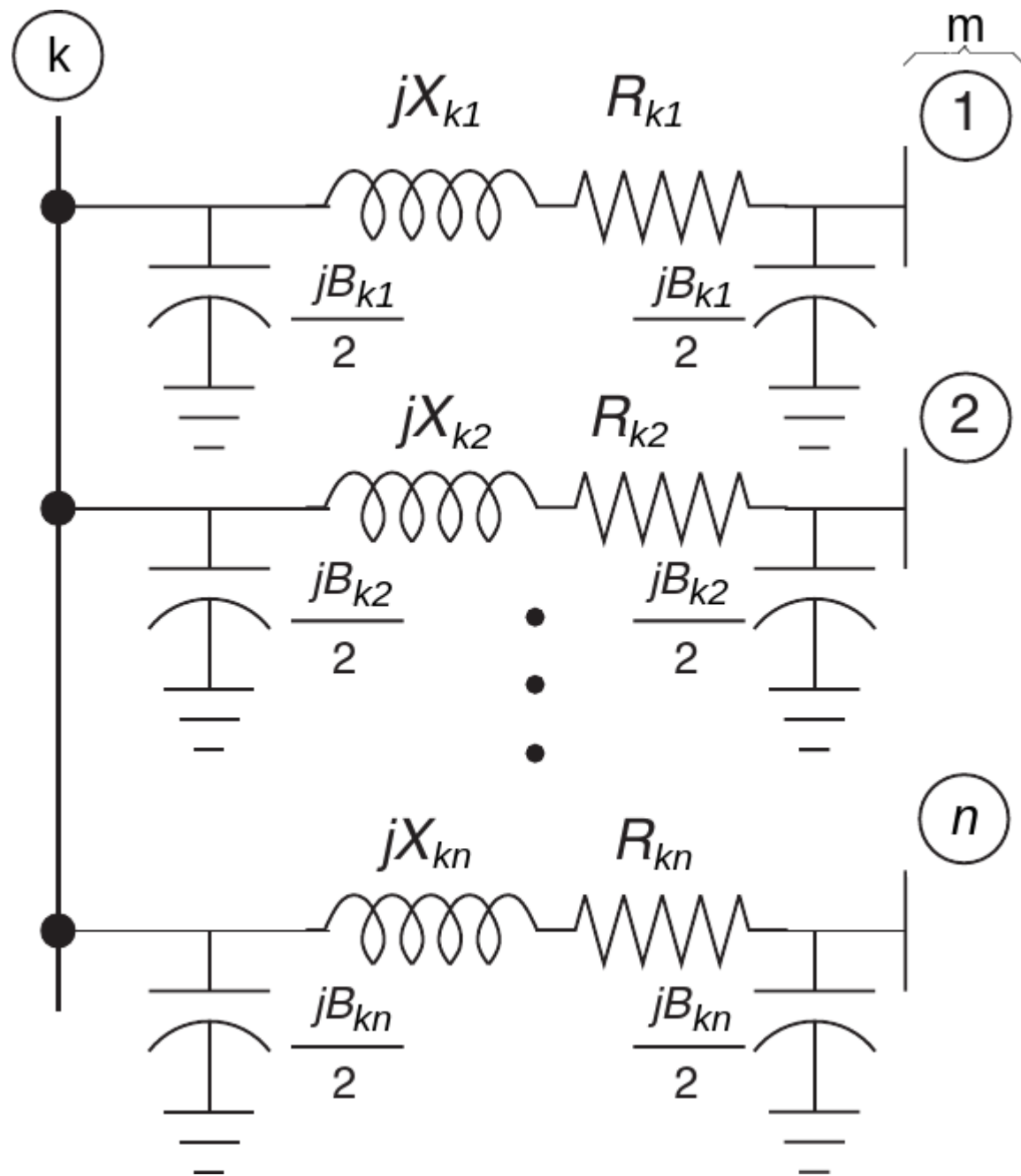
rede passiva
(contendo apenas
resistores,
capacitores e
indutores)

linhas de transmissão
representadas pelo modelo π



a matriz de
admitância é
a soma das
correntes dos
nós

Mesma figura do slide anterior



- o significado é o mesmo, apenas os símbolos e nomes mudam

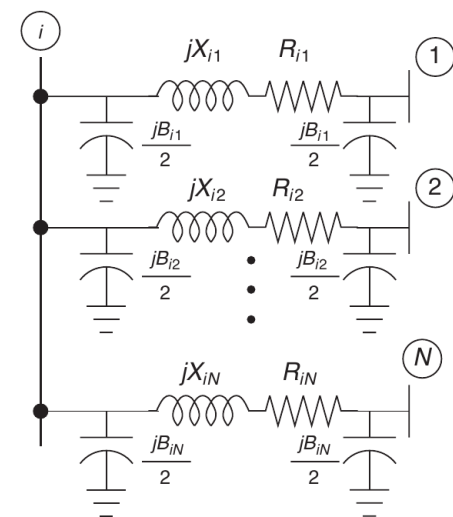
Matriz de admitância nodal

“injetado”

($i \equiv k$, $j \equiv m$, $N \equiv n$)

$$\begin{bmatrix} I_{1,inj} \\ I_{2,inj} \\ \vdots \\ I_{i,inj} \\ \vdots \\ I_{N,inj} \end{bmatrix} = \begin{bmatrix} Y_{11} & -y_{12} \angle \phi_{12} & \cdots & -y_{1i} \angle \phi_{1i} & \cdots & -y_{1N} \angle \phi_{1N} \\ -y_{21} \angle \phi_{21} & Y_{22} & \cdots & -y_{2i} \angle \phi_{2i} & \cdots & -y_{2N} \angle \phi_{2N} \\ \vdots & \vdots & \ddots & \vdots & \vdots & \vdots \\ -y_{i1} \angle \phi_{i1} & -y_{i2} \angle \phi_{i2} & \cdots & Y_{ii} & \cdots & -y_{iN} \angle \phi_{iN} \\ \vdots & \vdots & \vdots & \vdots & \ddots & \vdots \\ -y_{N1} \angle \phi_{N1} & -y_{N2} \angle \phi_{N2} & \cdots & -y_{Ni} \angle \phi_{Ni} & \cdots & Y_{NN} \end{bmatrix} \begin{bmatrix} \hat{V}_1 \\ \hat{V}_2 \\ \vdots \\ \hat{V}_1 \\ \vdots \\ \hat{V}_N \end{bmatrix}$$

$$Y_{ii} = \left(y_{i1} \angle \phi_{i1} + y_{i2} \angle \phi_{i2} + \cdots + y_{iN} \angle \phi_{iN} + j \frac{B_{i1}}{2} + j \frac{B_{i2}}{2} + \cdots + j \frac{B_{iN}}{2} \right)$$



Matriz de admitância nodal

$$\begin{bmatrix} \hat{I}_1 \\ \hat{I}_2 \\ \vdots \\ \hat{I}_n \end{bmatrix} = \begin{bmatrix} Y_{11} & Y_{12} & \cdots & Y_{1n} \\ Y_{21} & Y_{22} & \cdots & Y_{2n} \\ \vdots & \vdots & \ddots & \vdots \\ Y_{n1} & Y_{n2} & \cdots & Y_{nn} \end{bmatrix} \begin{bmatrix} \hat{E}_1 \\ \hat{E}_2 \\ \vdots \\ \hat{E}_n \end{bmatrix} \Rightarrow \boxed{\begin{bmatrix} \hat{I} \end{bmatrix} = \begin{bmatrix} Y_{bus} \end{bmatrix} \begin{bmatrix} \hat{E} \end{bmatrix}}$$

matriz de admitância

A matriz de admitância de um sistema de n barras é uma matriz quadrada $n \times n$ composta pelas admitâncias equivalentes em cada uma das posições

outras equações

$$Y_{km} = G_{km} + jB_{km}$$

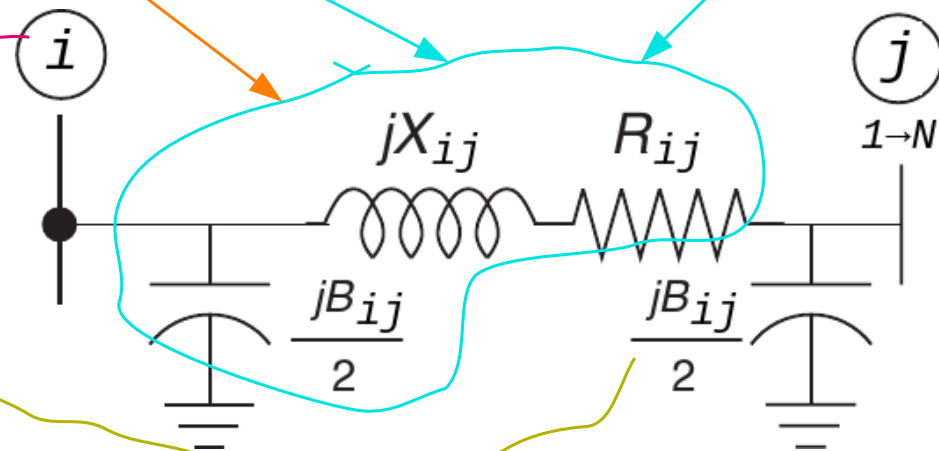
$$S_k = \hat{V}_k \hat{I}_k^*$$

Regra geral 1 (p. 27 do livro-texto)

$$\begin{bmatrix} I_{1,inj} \\ I_{2,inj} \\ \vdots \\ I_{i,inj} \\ \vdots \\ I_{N,inj} \end{bmatrix} = \begin{bmatrix} Y_{11} & -y_{12}\angle\phi_{12} & \dots & -y_{1i}\angle\phi_{1i} & \dots & -y_{1N}\angle\phi_{1N} \\ -y_{21}\angle\phi_{21} & Y_{22} & \dots & -y_{2i}\angle\phi_{2i} & \dots & -y_{2N}\angle\phi_{2N} \\ \vdots & \vdots & \ddots & \vdots & \vdots & \vdots \\ -y_{i1}\angle\phi_{i1} & -y_{i2}\angle\phi_{i2} & \dots & Y_{ii} & \dots & -y_{iN}\angle\phi_{iN} \\ \vdots & \vdots & \vdots & \vdots & \ddots & \vdots \\ -y_{N1}\angle\phi_{N1} & -y_{N2}\angle\phi_{N2} & \dots & -y_{Ni}\angle\phi_{Ni} & \dots & Y_{NN} \end{bmatrix} \begin{bmatrix} \hat{V}_1 \\ \hat{V}_2 \\ \vdots \\ \hat{V}_1 \\ \vdots \\ \hat{V}_N \end{bmatrix}$$

$$Y_{ii} = \left(y_{i1}\angle\phi_{i1} + y_{i2}\angle\phi_{i2} + \dots + y_{iN}\angle\phi_{iN} + j\frac{B_{i1}}{2} + j\frac{B_{i2}}{2} + \dots + j\frac{B_{iN}}{2} \right)$$

- A admitância da impedância conectada entre um nó **i** e a referência (impedância shunt) é considerada no elemento principal da matriz (**i, i**)

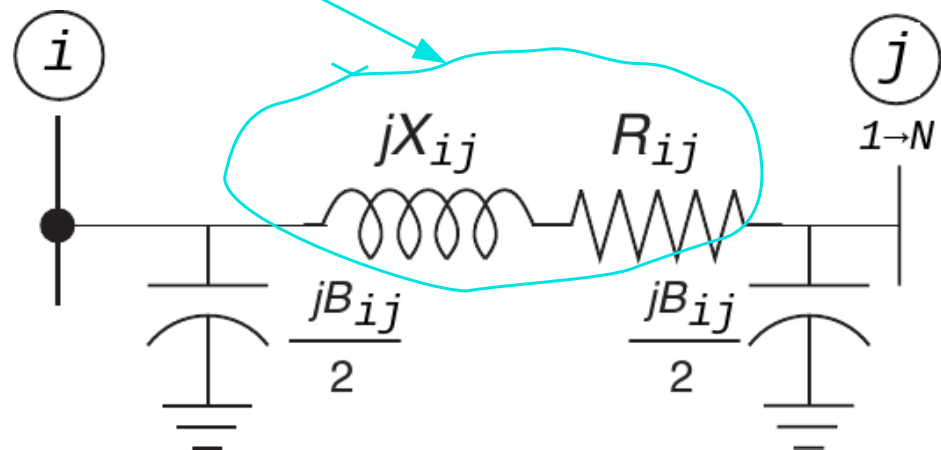


Regra geral 2 (p. 27 do livro-texto)

$$\begin{bmatrix} I_{1,inj} \\ I_{2,inj} \\ \vdots \\ I_{i,inj} \\ \vdots \\ I_{N,inj} \end{bmatrix} = \begin{bmatrix} Y_{11} & -y_{12}\angle\phi_{12} & \cdots & -y_{1i}\angle\phi_{1i} & \cdots & -y_{1N}\angle\phi_{1N} \\ -y_{21}\angle\phi_{21} & Y_{22} & \cdots & -y_{2i}\angle\phi_{2i} & \cdots & -y_{2N}\angle\phi_{2N} \\ \vdots & \vdots & \ddots & \vdots & \vdots & \vdots \\ -y_{i1}\angle\phi_{i1} & -y_{i2}\angle\phi_{i2} & \cdots & Y_{ii} & \cdots & -y_{iN}\angle\phi_{iN} \\ \vdots & \vdots & \vdots & \vdots & \ddots & \vdots \\ -y_{N1}\angle\phi_{N1} & -y_{N2}\angle\phi_{N2} & \cdots & -y_{Ni}\angle\phi_{Ni} & \cdots & Y_{NN} \end{bmatrix} \begin{bmatrix} \hat{V}_1 \\ \hat{V}_2 \\ \vdots \\ \hat{V}_i \\ \vdots \\ \hat{V}_N \end{bmatrix}$$

$$Y_{ii} = \left(y_{i1}\angle\phi_{i1} + y_{i2}\angle\phi_{i2} + \cdots + y_{iN}\angle\phi_{iN} + j\frac{B_{i1}}{2} + j\frac{B_{i2}}{2} + \cdots + j\frac{B_{iN}}{2} \right)$$

- A admitância conectada entre os nós **i** e **j** são acrescidos no elemento principal dessas barras (**j,j**) e (**i,i**) e o negativo dessas admitâncias compõem os elementos (**j,i**) e (**i,j**)



Convenção

- minúsculas: valores das linhas

$$y_{km}, g_{km}, b_{km}$$

- maiúsculas: elementos da matriz de admitância

$$Y_{km}, G_{km}, B_{km}$$

Equações de injeção de potências

Equações de injeção de potência ativa e reativa, em qualquer barra

- Substituindo a relação:

$$S_k = \hat{V}_k \hat{I}_k^*$$

nas equações de corrente obtidas para cada uma das barras indicadas na equação da matriz de admitâncias, chegamos em:

$$P_k = V_k \sum_{m \in K} V_m \left(G_{km} \cos \theta_{km} + B_{km} \sin \theta_{km} \right)$$

equações
1.31 e 1.32

$$Q_k = V_k \sum_{m \in K} V_m \left(G_{km} \sin \theta_{km} - B_{km} \cos \theta_{km} \right)$$

Classificação de barras

- Para a correta implementação do algoritmo de fluxo de carga é necessário classificar cada barra do sistema, de forma a equacionar adequadamente o problema do fluxo de carga
- Na **barra de referência** os valores de módulo de tensão e ângulo são fornecidos como referência
 - Também é chamada de barra $V\theta$, barra *swing*, ou barra *slack*
 - É responsável por equilibrar o balanço de potência no sistema

Classificação de barras

- O tipo mais comum de barra em um sistema elétrico é a chamada barra de carga PQ
 - As grandezas conhecidas são apenas potência ativa P_k e potência reativa Q_k
 - Não há controle de tensão nesta barra
 - Necessário calcular as variáveis de módulo de tensão V_k e ângulo θ_k
- A barra denominada barra de tensão PV é aquela na qual conhece-se os valores de potência ativa e módulo de tensão P_k e V_k
 - Costuma conter dispositivos de controle, como geradores e compensadores síncronos, com função de manter as grandezas conhecidas constantes

Classificação de barras

- A barra remota PQV consiste em uma barra de carga PQ com a inclusão de algum controle de tensão
 - As grandezas conhecidas são potência ativa P_k , reativa Q_k , e módulo de tensão V_k
- A barra de controle P, é aquela na qual conhece-se apenas a potência ativa P_k e serve para controlar a tensão de barras remotas
- A barra θ é aquela onde o valor conhecido é a referência angular de tensão θ_k

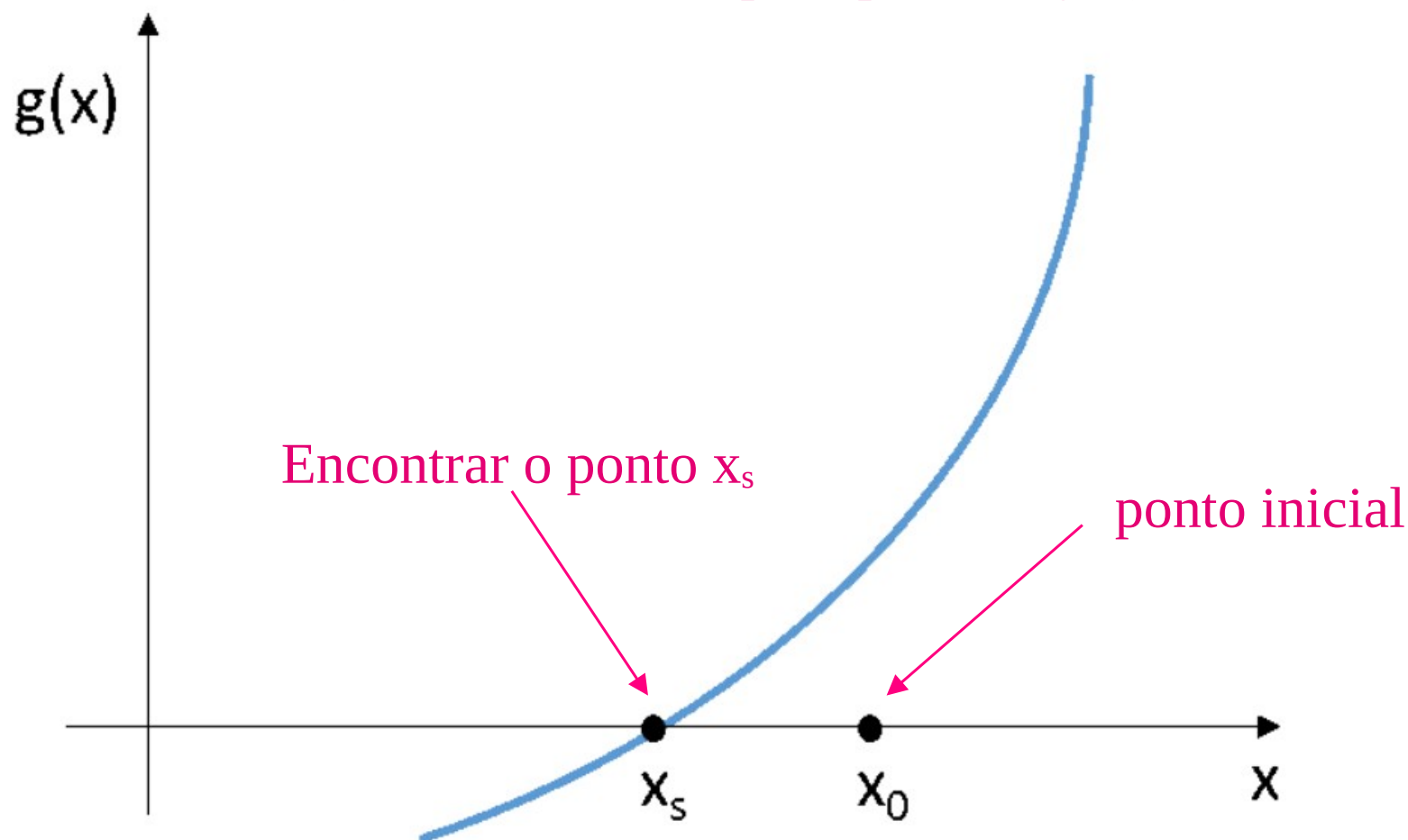
Fluxo de potência pelo método de Newton-Raphson

Método de Newton-Raphson

- A solução de equações simultâneas de fluxo de potência exige o uso de técnicas iterativas até mesmo para os sistemas de energia mais simples
- Existem diversos métodos para resolver esse tipo de problema, o mais conhecido é o Newton–Raphson

Método de Newton-Raphson

(método iterativo por aproximação)



princípio de funcionamento: determinação do valor de x capaz de **anular uma função** não linear $g(x)$, ou seja, encontrar o ponto x_s , considerando que x_0 é o ponto inicial, suficientemente próximo de x_s

Método iterativo

- O método trabalha a determinação de um vetor de correção Δx para cada iteração i , corrigindo o valor especificado inicialmente
- Consiste em linearizar a função $g(x)$ em torno de um ponto dado pela iteração i :

$$g(x^i + \Delta x^i) \cong g(x^i) - g'(x^i) \cdot \Delta x^i$$


A equação do slide anterior equivale a resolver a equação:

$$g(x^i) = -J(x^i) \cdot \Delta x$$

$$\Delta x = -\frac{g(x^i)}{g'(x^i)}$$

$$J(x) = \frac{\partial g(x)}{\partial x}$$

← será visto
mais adiante
em matriz
Jacobiana

Exemplo 1 - enunciado

(será feito em laboratório)

Considere que a potência em uma das barras do sistema elétrico é dada pela equação


$$P_k = 3 (1 - \cos \theta_k) + 2 \sin \theta_k$$

Sendo **-0,4 pu** a demanda de potência ativa nessa barra, qual o valor do ângulo **θ_k** em radianos?

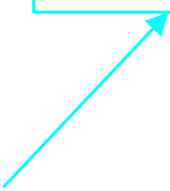
Exemplo 1 - solução

- A forma mais direta de se pensar como resolver este problema seria igualar diretamente a equação à 0,4
- No entanto, o ângulo a ser calculado estará em senos e cossenos, o que dificulta a obtenção direta do ângulo
- O problema pode então ser formulado:

$$\Delta P_k = -0,4 - P_k = -0,4 - 3(1 - \cos \theta_k) - 2 \operatorname{sen} \theta_k = 0$$



$$P_k = 3(1 - \cos \theta_k) + 2 \operatorname{sen} \theta_k$$



(vide slide anterior)

Exemplo - solução iterativa

a equação do slide anterior pode ser resolvida iterativamente:

i-ésima iteração

$$\Delta P_k^i = - \left[\frac{\partial \Delta P_k}{\partial \theta_k} \right]^i \boxed{\Delta \theta_k^i}$$

$$\theta_k^{i+1} = \theta_k^i + \boxed{\Delta \theta_k^i}$$

Então temos:

$$-\frac{\partial \Delta P_k}{\partial \theta_k} = 3 \operatorname{sen} \theta_k + 2 \cos \theta_k$$

(continua)

Exemplo - solução iterativa

- Cabe então resolver:

$$\Delta P_k^i = (3\text{sen}\theta_k^i + 2\cos\theta_k^i)\Delta\theta_k^i$$

$$\Rightarrow \Delta\theta_k^i = \frac{1}{(3\text{sen}\theta_k^i + 2\cos\theta_k^i)}\Delta P_k^i$$

- O processo iterativo deve parar adotando o critério de convergência, por exemplo:

$$\Delta P_k^i < 10^{-4}$$

Exemplo - resultado das iterações

$$\Delta\theta_k^i = \frac{1}{(3\text{sen}\theta_k^i + 2\cos\theta_k^i)} \Delta P_k^i$$

i	θ_k^i	$\Delta P_k^i = -0,4 - 3(1 - \cos\theta_k^i) - 2\text{sen}\theta_k^i$	$\Delta\theta_k^i$	$\theta_k^{i+1} = \theta_k^i + \Delta\theta_k^i$
1	0	-0,4	-0,2	-0,2
2	-0,2	-0,0625	-0,0458	-0,2458
3	-0,2458	-0,0035	-0,0029	-0,2487
4	-0,2487	$-1,4378 \times 10^{-5}$	--	--

valor do ângulo na barra k
[radianos]

$$\Delta P_k^i < 10^{-4}$$

exerc.ods - LibreOffice Calc

File Edit View Insert Format Styles Sheet Data Tools Window Help

B9 $f_x \Sigma = =E8$ AutoFill

1 $\Delta P_k^i = -0,4 - 3 \cdot (1 - \cos \theta_k^i) - 2 \cdot \sin \theta_k^i = -0,4 - 3 \cdot (1 - \cos(B6)) - 2 \cdot \sin(B6)$

2 $\Delta \theta_k^i = \Delta P_k^i / (3 \sin \theta_k^i + 2 \cos \theta_k^i) = C6 / (3 \cdot \sin(B6) + 2 \cdot \cos(B6))$

3 $\theta_k^{i+1} = \theta_k^i + \Delta \theta_k^i = D6 + B6$

4 Para quando $\Delta P_k^i < 10^{-4}$

i	θ_k^i	ΔP_k^i	$\Delta \theta_k^i$	θ_k^{i+1}
1	0,0000	-0,4000	-0,2000	-0,2000
2	-0,2000	-0,0625	-0,0458	-0,2458
3	-0,2458	-0,0035	-0,0029	-0,2487
4	-0,2487	0,0000	0,0000	-0,2487

Sheet 1 of 2 Default Portuguese (Brazil) 160%